

ГРАДИЕНТНЫЕ МЕТОДЫ РЕШЕНИЯ ЗАДАЧ СТОКСА

И.И. ГОЛИЧЕВ, Т.Р. ШАРИПОВ, Н.И. ЛУЧНИКОВА

Аннотация. В настоящей работе рассматриваются итерационные методы градиентного типа для решения задачи Стокса в ограниченных областях, полученные путем сведения ее к задачам вариационного типа, в которых давление выступает в качестве управления. В дифференциальной форме предложенные методы наиболее близки к алгоритмам семейства Удзавы. Построены согласованные конечно-разностные алгоритмы и представлена их апробация на последовательности сеток при решении двумерной задачи с известным аналитическим решением.

Ключевые слова: задача Стокса, оптимальное управление, градиентный метод, конечно-разностная схема.

Mathematics Subjects Classifications: 49M20, 35Q30, 93C05

1. Введение. В ограниченной области $\Omega \subset R^n$ ($n = 2, 3$) с гладкой границей $S \in C^2$ (т.е. дважды непрерывно дифференцируемой) рассматривается задача Стокса

$$-\nu \Delta \mathbf{v} = \mathbf{f} - \nabla p, \quad \mathbf{v}|_S = 0, \quad (1)$$

$$\operatorname{div} \mathbf{v} = 0, \quad (2)$$

$$(p, 1)_{L_2(\Omega)} = 0, \quad (3)$$

где $\mathbf{f} = (f^{(1)}, \dots, f^{(n)}) \in \mathbf{L}_2(\Omega) = (L_2(\Omega))^n$, $\mathbf{v} = (v^{(1)}, \dots, v^{(n)})$ – вектор скорости, p – давление, $\nu > 0$ – коэффициент кинематической вязкости.

Согласно [1, гл. III, §5, теорема 2], в данных условиях задача (1)–(3) имеет единственное сильное решение $\mathbf{v} \in \mathbf{H}^2(\Omega) = (H^2(\Omega))^n$, $\nabla p \in \mathbf{L}_2(\Omega)$. Здесь и далее используются стандартные обозначения для пространств Соболева $H^l(\Omega) \equiv W_2^l(\Omega)$, $l = 1, 2, \dots$

Будем рассматривать задачу (1)–(3) как обратную задачу к задаче (1), (3), в которой неизвестен градиент давления ∇p , но задано дополнительное условие (2). Такую задачу можно сформулировать как эквивалентную исходной задачи оптимального управления:

$$J(\mathbf{u}) = \frac{1}{2} \|\operatorname{div} \mathbf{v}(\mathbf{u})\|_{L_2(\Omega)}^2 \rightarrow \inf, \quad \mathbf{u} \in G(\Omega),$$

где $G(\Omega) = \{\mathbf{u} \in \mathbf{L}_2(\Omega) : \mathbf{u} = \nabla p, p \in H^1(\Omega), (p, 1)_{L_2(\Omega)} = 0\}$ – градиентная составляющая в ортогональном разложении $\mathbf{L}_2(\Omega)$, а $\mathbf{v}(\mathbf{u})$ – решение системы

$$-\nu \Delta \mathbf{v}(\mathbf{u}) = \mathbf{f} - \mathbf{u}, \quad \mathbf{v}(\mathbf{u})|_S = 0. \quad (4)$$

Тот факт, что решение многих задач математической физики можно свести к решению экстремальных задач, хорошо известен и широко используется. Из известных методов решения стационарной задачи Стокса в естественных переменных, имеющих в своей основе вариационные методы, отметим, прежде всего, методы Эрроу–Гурвица и Удзавы [2], дифференциальная форма которых, основанная на вариационной формулировке исходной задачи и теории двойственности [3], позволяет отделить процесс нахождения неизвестных, решая тем самым проблему отсутствия уравнения на давление. Рассматриваемый далее подход идейно близок методам из [4], [5].

I.I. GOLICHEV, T.R. SHARIPOV, N.I. LUCHNIKOVA, GRADIENT METHODS FOR SOLVING STOKES PROBLEM.

© Голичев И.И., Шарипов Т.Р., Лучникова Н.И. 2016.

Поступила 9 декабря 2015 г.

Наряду с задачей минимизации функционала $J(\mathbf{u})$ в пространстве $\mathbf{L}_2(\Omega)$ также будем рассматривать задачи минимизации $J(\nabla u)$ в пространствах $H^1(\Omega)$ и $L_2(\Omega)$, в которых за управление u берется само давление p . Поскольку градиенты функционала в этих случаях имеют различный вид, нам удобно их обозначить в соответствии с рассматриваемыми в работе задачами:

Задача I. Найти минимум функционала $J_0(\mathbf{u}) = \|\operatorname{div} \mathbf{v}(\mathbf{u})\|_{L_2(\Omega)}^2/2$ на множестве $U_0 = G(\Omega)$, где $\mathbf{v}(\mathbf{u})$ – решение задачи (4).

Задача II. Найти минимум функционала $J_1(u) = \|\operatorname{div} \mathbf{v}(u)\|_{L_2(\Omega)}^2/2$ на множестве $U_1 = \{u \in H^1(\Omega) : (u, 1)_{L_2(\Omega)} = 0\}$, где $\mathbf{v}(u)$ – решение задачи

$$-\nu \Delta \mathbf{v}(u) = \mathbf{f} - \nabla u, \quad \mathbf{v}(u)|_S = 0. \quad (5)$$

Задача III. Найти минимум функционала $J_2(u) = \|\operatorname{div} \mathbf{v}(u)\|_{L_2(\Omega)}^2/2$ на множестве $U_2 = \{u \in L_2(\Omega) : (u, 1)_{L_2(\Omega)} = 0\}$, где $\mathbf{v}(u)$ – обобщенное решение задачи (5).

Решение задач I–III будем искать методом проекции градиента [6], [7]:

$$u_{k+1} = P_{U_l}(u_k - \alpha_k J'_l(u_k)), \quad l = 0, 1, 2, \quad (6)$$

где P_{U_l} – оператор проектирования на множество U_l , а $J'_l(u_k)$ – градиент функционала $J_l(u_k)$ в точке u_k ¹.

В дальнейшем изложении будет показано, что

$$J'_0(\mathbf{u}) = \mathbf{w}(\mathbf{u}), \quad (7)$$

$$J'_1(u) = \rho(\mathbf{w}(u)), \quad (8)$$

$$J'_2(u) = -\operatorname{div} \mathbf{w}(u), \quad (9)$$

где $\mathbf{w}(\cdot)$ – сопряженное состояние системы (4), определяемое для всех задач как решение задачи

$$-\nu \Delta \mathbf{w}(\cdot) = \nabla \operatorname{div} \mathbf{v}(\cdot), \quad \mathbf{w}(\cdot)|_S = 0, \quad (10)$$

а $\rho(\mathbf{w})$ определяется из ортогонального разложения вектора $\mathbf{w}(u) = \nabla \rho(\mathbf{w}) + \vec{\varphi}$ на градиентную и соленоидальную составляющие.

Для всех рассматриваемых задач найдем операторы проектирования и покажем, что задачи I и II эквивалентны.

Отметим, что в [4] рассмотрен аналог задачи II для обобщенной задачи Стокса, а для построения итерационного процесса использована общая теория сопряженных операторных уравнений. Тестовый расчет из этой работы используется нами для верификации расчета по формуле (6). К близким по структуре дифференциальных итерационных процессов настоящей работы приводит также метод неполного и полного расщепления граничных условий [5], где применяется теория граничных операторов Пуанкаре–Стеклова.

Далее везде через $\mathring{\mathbf{v}}(\mathbf{u})$ обозначается решение задачи (4) при $\mathbf{f} = 0$, а через $\mathring{\mathbf{v}}(u)$ – решение задачи (5) при $\mathbf{f} = 0$.

2. Дифференцируемость функционала $J_0(\mathbf{u})$. Обозначим через L оператор на множестве $\mathbf{H}_0^2(\Omega) = \{\mathbf{z} \in \mathbf{H}^2(\Omega) : \mathbf{z}|_S = 0\}$ равенством $L(\mathbf{z}) = -\nu \Delta \mathbf{z}$. Заметим, что область значений оператора L совпадает со всем пространством $\mathbf{L}_2(\Omega)$. Действительно, пусть \mathbf{f} – произвольный элемент из $\mathbf{L}_2(\Omega)$; тогда задача

$$L(\mathbf{z}) = \mathbf{f} \quad (11)$$

имеет, согласно [8, гл. II §7, теорема 7.1], единственное решение из $\mathbf{H}_0^2(\Omega)$.

Используя второе энергетическое неравенство [8, гл. II, §6, формула (6.29)]²

$$\|\mathbf{z}\|_{\mathbf{H}^2(\Omega)} \leq c_1 \|\Delta \mathbf{z}\|_{L_2(\Omega)}, \quad (12)$$

¹В целях обобщенной записи мы не выделяем жирным шрифтом вектор u для задачи I.

²Если область Ω выпуклая, то константа c_1 равна единице.

с учетом очевидного для задачи (11) равенства $\|\Delta \mathbf{z}\|_{L_2(\Omega)} = \nu^{-1} \|\mathbf{f}\|_{L_2(\Omega)}$, получаем используемую далее оценку

$$\|\mathbf{z}\|_{\mathbf{H}^2(\Omega)} \leq c_1 \nu^{-1} \|\mathbf{f}\|_{L_2(\Omega)}. \quad (13)$$

Пусть \mathbf{u} и \mathbf{h} – произвольные элементы из U_0 . Учитывая определение оператора L , нетрудно видеть, что $\mathbf{v}(\mathbf{u} + \mathbf{h}) - \mathbf{v}(\mathbf{u}) = \overset{\circ}{\mathbf{v}}(\mathbf{h})$, где $\overset{\circ}{\mathbf{v}}(\mathbf{h}) = L^{-1}(-\mathbf{h})$. Тем самым,

$$\begin{aligned} J_0(\mathbf{u} + \mathbf{h}) - J_0(\mathbf{u}) &= \frac{1}{2} \|\operatorname{div} \mathbf{v}(\mathbf{u} + \mathbf{h})\|_{L_2(\Omega)}^2 - \frac{1}{2} \|\operatorname{div} \mathbf{v}(\mathbf{u})\|_{L_2(\Omega)}^2 = \\ &= (\operatorname{div} \mathbf{v}(\mathbf{u}), \operatorname{div} \overset{\circ}{\mathbf{v}}(\mathbf{h}))_{L_2(\Omega)} + \frac{1}{2} \|\operatorname{div} \overset{\circ}{\mathbf{v}}(\mathbf{h})\|_{L_2(\Omega)}^2. \end{aligned} \quad (14)$$

Преобразуем первое слагаемое в правой части последнего равенства с использованием интегрирования по частям, условия $\overset{\circ}{\mathbf{v}}(\mathbf{h})|_S = 0$ и самосопряженности оператора L :

$$(\operatorname{div} \mathbf{v}(\mathbf{u}), \operatorname{div} \overset{\circ}{\mathbf{v}}(\mathbf{h}))_{L_2(\Omega)} = -(\nabla \operatorname{div} \mathbf{v}(\mathbf{u}), L^{-1}(-\mathbf{h}))_{L_2(\Omega)} = (L^{-1} \nabla \operatorname{div} \mathbf{v}(\mathbf{u}), \mathbf{h})_{L_2(\Omega)}.$$

Таким образом, с учетом обозначения $\mathbf{w}(\mathbf{u}) = L^{-1} \nabla \operatorname{div} \mathbf{v}(\mathbf{u})$ тождество (14) принимает вид

$$J_0(\mathbf{u} + \mathbf{h}) - J_0(\mathbf{u}) = (\mathbf{w}(\mathbf{u}), \mathbf{h})_{L_2(\Omega)} + \frac{1}{2} \|\operatorname{div} \overset{\circ}{\mathbf{v}}(\mathbf{h})\|_{L_2(\Omega)}^2. \quad (15)$$

Умножая левую и правую части (11) на \mathbf{z} и интегрируя по частям, получаем соотношение

$$\nu \|\nabla \mathbf{z}\|_{L_2(\Omega)}^2 \leq \|\mathbf{f}\|_{L_2(\Omega)} \|\mathbf{z}\|_{L_2(\Omega)},$$

откуда, и из неравенства Фридрикса

$$\|\mathbf{z}\|_{L_2(\Omega)} \leq c_0 \|\nabla \mathbf{z}\|_{L_2(\Omega)}, \quad (16)$$

имеем:

$$\|\nabla \mathbf{z}\|_{L_2(\Omega)} \leq c_0 \nu^{-1} \|\mathbf{f}\|_{L_2(\Omega)}. \quad (17)$$

Из (17) и легко проверяемого неравенства

$$\|\operatorname{div} \mathbf{z}\|_{L_2(\Omega)} \leq \sqrt{n} \|\nabla \mathbf{z}\|_{L_2(\Omega)} \quad (18)$$

следует, что

$$\|\operatorname{div} \overset{\circ}{\mathbf{v}}(\mathbf{h})\|_{L_2(\Omega)} \leq \sqrt{n} c_0 \nu^{-1} \|\mathbf{h}\|_{L_2(\Omega)}, \quad (19)$$

поэтому главная линейная часть приращения функционала $J_0(\mathbf{u})$ определяется выражением $(\mathbf{w}(\mathbf{u}), \mathbf{h})_{L_2(\Omega)}$.

Покажем, что градиент $J'_0(\mathbf{u})$ удовлетворяет условию Липшица. Пусть $\mathbf{u}^{(1)}, \mathbf{u}^{(2)} \in U_0$, а $\mathbf{w}^{(1)}, \mathbf{w}^{(2)}$ – соответствующие им решения задачи (10). Заметим, что

$$L(\mathbf{w}^{(1)} - \mathbf{w}^{(2)}) = \nabla \operatorname{div} \mathbf{v}(\mathbf{u}^{(1)}) - \nabla \operatorname{div} \mathbf{v}(\mathbf{u}^{(2)}) = \nabla \operatorname{div} \overset{\circ}{\mathbf{v}}(\mathbf{u}^{(1)} - \mathbf{u}^{(2)}),$$

поэтому из неравенств (16), (17) получаем

$$\|\mathbf{w}^{(1)} - \mathbf{w}^{(2)}\|_{L_2(\Omega)} \leq c_0^2 \nu^{-1} \|\nabla \operatorname{div} \overset{\circ}{\mathbf{v}}(\mathbf{u}^{(1)} - \mathbf{u}^{(2)})\|_{L_2(\Omega)}. \quad (20)$$

Учитывая то, что $\overset{\circ}{\mathbf{v}}(\mathbf{u}^{(1)} - \mathbf{u}^{(2)})$ является решением уравнения (11) с правой частью $\mathbf{f} = -(\mathbf{u}^{(1)} - \mathbf{u}^{(2)})$, для которого справедлива оценка (13), из (20) получаем:

$$\begin{aligned} \|J'_0(\mathbf{u}^{(1)}) - J'_0(\mathbf{u}^{(2)})\|_{L_2(\Omega)} &= \|\mathbf{w}^{(1)} - \mathbf{w}^{(2)}\|_{L_2(\Omega)} \leq \sqrt{n} c_0^2 \nu^{-1} \|\overset{\circ}{\mathbf{v}}(\mathbf{u}^{(1)} - \mathbf{u}^{(2)})\|_{\mathbf{H}^2(\Omega)} \leq \\ &\leq \sqrt{n} c_0^2 c_1 \nu^{-2} \|\mathbf{u}^{(1)} - \mathbf{u}^{(2)}\|_{L_2(\Omega)}. \end{aligned} \quad (21)$$

Таким образом, доказана

Теорема 1. Пусть $\mathbf{f} \in L_2(\Omega)$, где Ω – ограниченная область с границей $S \in C^2$; тогда функционал $J_0(\mathbf{u})$ дифференцируем по Фреше на U_0 , его градиент определяется по формуле (7) и удовлетворяет условию Липшица с константой $L_0 = \sqrt{n} c_0^2 c_1 \nu^{-2}$, где c_0 и c_1 – константы из неравенств (16), (12).

3. Дифференцируемость функционала $J_1(u)$ На множестве U_1 введем метрику, эквивалентную метрике пространства $H^1(\Omega)$, по скалярному произведению $(a, b)_{H_0^1(\Omega)} = (\nabla a, \nabla b)_{L_2(\Omega)}$.

Пусть u и h – произвольные элементы из U_1 . Аналогично (15) легко видеть, что

$$J_1(u + h) - J_1(u) = (\mathbf{w}(u), \nabla h)_{L_2(\Omega)} + \frac{1}{2} \|\operatorname{div} \overset{\circ}{\mathbf{v}}(h)\|_{L_2(\Omega)}^2, \quad \overset{\circ}{\mathbf{v}}(h) = L^{-1}(-\nabla h), \quad (22)$$

причем, с учетом разложения вектора $\mathbf{w}(u) = P_{G(\Omega)} \mathbf{w}(u) + \vec{\varphi}$ на градиентную и соленоидальную ($\operatorname{div} \vec{\varphi} = 0$) составляющие,

$$(\mathbf{w}(u), \nabla h)_{L_2(\Omega)} = (P_{G(\Omega)} \mathbf{w}(u), \nabla h)_{L_2(\Omega)}. \quad (23)$$

Далее известно [9], что $\forall \mathbf{d} \in L_2(\Omega)$ $P_{G(\Omega)} \mathbf{d} = \nabla \rho$, где ρ есть решение задачи Неймана

$$\Delta \rho = \operatorname{div} \mathbf{d}, \quad \left. \frac{\partial \rho}{\partial \vec{n}} \right|_S = (\mathbf{d} \cdot \vec{n})|_S. \quad (24)$$

Из (22), (23), (24) следует:

$$J_1(u + h) - J_1(u) = (\rho(\mathbf{w}), h)_{H_0^1(\Omega)} + \frac{1}{2} \|\operatorname{div} \overset{\circ}{\mathbf{v}}(h)\|_{L_2(\Omega)}^2,$$

где $\rho(\mathbf{w})$ – решение задачи

$$\Delta \rho(\mathbf{w}) = \operatorname{div} \mathbf{w}(u), \quad \left. \frac{\partial \rho(\mathbf{w})}{\partial \vec{n}} \right|_S = (\mathbf{w}(u) \cdot \vec{n})|_S. \quad (25)$$

Аналогично (19) имеем оценку

$$\|\operatorname{div} \overset{\circ}{\mathbf{v}}(h)\|_{L_2(\Omega)} \leq \sqrt{n} c_0 \nu^{-1} \|\nabla h\|_{L_2(\Omega)} = \sqrt{n} c_0 \nu^{-1} \|h\|_{H_0^1(\Omega)},$$

откуда следует, что главная линейная часть приращения функционала $J_1(u)$ определяется выражением $(\rho(\mathbf{w}), h)_{H_0^1(\Omega)}$.

Покажем, что градиент $J_1'(u)$ удовлетворяет условию Липшица. Пусть $u^{(1)}$ и $u^{(2)}$ принадлежат U_1 , а $\mathbf{w}^{(1)}$ и $\mathbf{w}^{(2)}$ – соответствующие им решения задачи (10); тогда

$$\begin{aligned} \|J_1'(u^{(1)}) - J_1'(u^{(2)})\|_{H_0^1(\Omega)} &= \|\rho(u^{(1)}) - \rho(u^{(2)})\|_{H_0^1(\Omega)} = \|\nabla \rho(u^{(1)}) - \nabla \rho(u^{(2)})\|_{L_2(\Omega)} = \\ &= \|P_{G(\Omega)} \mathbf{w}^{(1)} - P_{G(\Omega)} \mathbf{w}^{(2)}\|_{L_2(\Omega)} \leq \|\mathbf{w}^{(1)} - \mathbf{w}^{(2)}\|_{L_2(\Omega)}. \end{aligned}$$

Учитывая первое из неравенств (21), а также то, что $\overset{\circ}{\mathbf{v}}(u^{(1)} - u^{(2)})$ является решением уравнения (11) с правой частью $\mathbf{f} = -\nabla(u^{(1)} - u^{(2)})$ и принимая во внимание оценку (13), получим

$$\begin{aligned} \|J_1'(u^{(1)}) - J_1'(u^{(2)})\|_{H_0^1(\Omega)} &\leq \|\mathbf{w}^{(1)} - \mathbf{w}^{(2)}\|_{L_2(\Omega)} \leq \sqrt{n} c_0^2 c_1 \nu^{-2} \|\nabla u^{(1)} - \nabla u^{(2)}\|_{L_2(\Omega)} = \\ &= \sqrt{n} c_0^2 c_1 \nu^{-2} \|u^{(1)} - u^{(2)}\|_{H_0^1(\Omega)}. \end{aligned}$$

Теорема 2. Пусть выполнены условия теоремы 1; тогда функционал $J_1(u)$ дифференцируем по Фреше на U_1 , его градиент определяется по формуле (8) и удовлетворяет условию Липшица с константой L_0 .

Если в задачах I и II начальные приближения в итерационных процессах (6) при $l = 0$ и $l = 1$ связаны равенством $\mathbf{u}_0 = \nabla u_0$, то $\mathbf{u}_k = \nabla u_k$ при всех $k = 1, 2, \dots$

Доказательство. Действительно, если $\mathbf{u}_k = \nabla u_k$, то с очевидностью $\mathbf{v}(\mathbf{u}_k) = \mathbf{v}(u_k)$ и $\mathbf{w}(\mathbf{u}_k) = \mathbf{w}(u_k)$, поэтому

$$\begin{aligned} \mathbf{u}_{k+1} &= P_{G(\Omega)} (\mathbf{u}_k - \alpha_k J_0'(\mathbf{u}_k)) = \mathbf{u}_k - \alpha_k P_{G(\Omega)} \mathbf{w}(\mathbf{u}_k) = \\ &= \mathbf{u}_k - \alpha_k \nabla \rho_k(u_k) = \nabla (u_k - \alpha_k \rho_k(u_k)) = \nabla u_{k+1}. \end{aligned}$$

Таким образом, задачи I и II можно считать эквивалентными. \square

4. Дифференцируемость функционала $J_2(u)$. Пусть u и h – произвольные элементы из U_2 . Для доказательства формулы (9) воспользоваться непосредственно, как в предыдущих разделах, интегрированием по частям здесь невозможно, поскольку не гарантирована принадлежность функций $\mathbf{v}(u)$ и $\mathbf{w}(u)$ пространству $\mathbf{H}^2(\Omega)$. Воспользуемся предельным переходом; выберем последовательности $\{u_n\}$, $\{h_n\}$, содержащиеся в U_1 так, что $u_n \rightarrow u$, $h_n \rightarrow h$ в $L_2(\Omega)$ при $n \rightarrow \infty$.

На последовательностях $\{u_n\}$, $\{h_n\}$ справедливо равенство (22):

$$J_2(u_n + h_n) - J_2(u_n) = (\mathbf{w}(u_n), \nabla h_n)_{L_2(\Omega)} + \frac{1}{2} \|\operatorname{div} \mathring{\mathbf{v}}(h_n)\|_{L_2(\Omega)}^2. \quad (26)$$

Покажем, что $\operatorname{div} \mathbf{w}(u_n) \rightarrow \operatorname{div} \mathbf{w}(u)$, $\operatorname{div} \mathring{\mathbf{v}}(h_n) \rightarrow \operatorname{div} \mathring{\mathbf{v}}(h)$ при $n \rightarrow \infty$ в метрике $L_2(\Omega)$.

Умножая уравнение (5) на \mathbf{v} и интегрируя по частям, получим тождество

$$\nu \|\nabla \mathbf{v}\|_{L_2(\Omega)}^2 = (\mathbf{f}, \mathbf{v})_{L_2(\Omega)} + (u, \operatorname{div} \mathbf{v})_{L_2(\Omega)},$$

применение неравенств (18) и (16), к которому дает неравенство

$$\|\nabla \mathbf{v}\|_{L_2(\Omega)} \leq \nu^{-1} (c_0 \|\mathbf{f}\|_{L_2(\Omega)} + \sqrt{n} \|u\|_{L_2(\Omega)}). \quad (27)$$

Разность $\mathbf{v}(u^{(1)}) - \mathbf{v}(u^{(2)}) = \mathring{\mathbf{v}}(u^{(1)} - u^{(2)})$ является решением задачи (5) при $\mathbf{f} = 0$ и $u = u^{(1)} - u^{(2)}$. Тогда по неравенству (27)

$$\|\nabla \mathring{\mathbf{v}}(u^{(1)} - u^{(2)})\|_{L_2(\Omega)} \leq \nu^{-1} \sqrt{n} \|u^{(1)} - u^{(2)}\|_{L_2(\Omega)}. \quad (28)$$

Аналогичным образом, учитывая оценки (18), (28), получаем неравенство

$$\begin{aligned} \|\nabla \mathbf{w}(u^{(1)}) - \nabla \mathbf{w}(u^{(2)})\|_{L_2(\Omega)} &\leq \nu^{-1} \sqrt{n} \|\operatorname{div} \mathbf{v}(u^{(1)}) - \operatorname{div} \mathbf{v}(u^{(2)})\|_{L_2(\Omega)} \leq \\ &\leq \nu^{-1} n \|\nabla \mathring{\mathbf{v}}(u^{(1)} - u^{(2)})\|_{L_2(\Omega)} \leq \nu^{-2} n^{3/2} \|u^{(1)} - u^{(2)}\|_{L_2(\Omega)}. \end{aligned} \quad (29)$$

Из двух последних оценок и неравенства (17) следует, что в соотношениях (26) можно перейти к пределу при $n \rightarrow \infty$. В результате получаем, что

$$\begin{aligned} J_2(u + h) - J_2(u) &= (\mathbf{w}(u), \nabla h)_{L_2(\Omega)} + \frac{1}{2} \|\operatorname{div} \mathring{\mathbf{v}}(h)\|_{L_2(\Omega)}^2 = \\ &= (-\operatorname{div} \mathbf{w}(u), h)_{L_2(\Omega)} + \frac{1}{2} \|\operatorname{div} \mathring{\mathbf{v}}(h)\|_{L_2(\Omega)}^2, \end{aligned}$$

причем, с учетом оценок (18), (28)

$$\|\operatorname{div} \mathring{\mathbf{v}}(h)\|_{L_2(\Omega)} \leq \nu^{-1} n \|h\|_{L_2(\Omega)}.$$

Условие Липшица для $J_2'(u)$ устанавливается с применением неравенства (29):

$$\begin{aligned} \|J_2'(u^{(1)}) - J_2'(u^{(2)})\|_{L_2(\Omega)} &= \|\operatorname{div} \mathbf{w}(u^{(1)}) - \operatorname{div} \mathbf{w}(u^{(2)})\|_{L_2(\Omega)} \leq \\ &\leq \sqrt{n} \|\nabla \mathbf{w}(u^{(1)} - u^{(2)})\|_{L_2(\Omega)} \leq \nu^{-2} n^2 \|u^{(1)} - u^{(2)}\|_{L_2(\Omega)}. \end{aligned}$$

Таким образом, справедлива следующая

Теорема 3. Пусть выполнены условия теоремы 2; тогда функционал $J_2(u)$ дифференцируем по Фреше на U_2 , его градиент определяется по формуле (9), удовлетворяет условию Липшица с константой $L_2 = \nu^{-2} n^2$.

5. Модифицированный градиентный метод наискорейшего спуска. Существуют различные способы выбора величины α_k (см. [6], [7]). Наиболее быструю сходимость дает метод наискорейшего спуска, в котором α_k определяется из условия

$$f_k(\alpha_k) = \min_{\alpha > 0} f_k(\alpha), \quad f_k(\alpha) = J_l \left(P_{U_l}(u_k - \alpha J_l'(u_k)) \right), \quad l = 0, 1, 2. \quad (30)$$

В общем случае на каждом шаге спуска требуется решить однопараметрическую задачу оптимизации (30). Однако в рассматриваемых задачах, пользуясь тем, что множества

U_l являются подпространствами соответствующих гильбертовых пространств и, следовательно, операции проектирования P_l на эти множества линейны, найдем явные формулы для параметров α_k .

Если $u_k \in U_l$, то $P_{U_l}(u_k) = u_k$, поэтому, с учетом обозначения $d_k = P_{U_l}(J'_l(u_k))$, имеем

$$\begin{aligned} f_k(\alpha) &= J_l(u_k - \alpha d_k) = \|\operatorname{div} \mathbf{v}(u_k) - \alpha \operatorname{div} \overset{\circ}{\mathbf{v}}(d_k)\|_{L_2(\Omega)}^2/2 = \\ &= \|\operatorname{div} \mathbf{v}(u_k)\|_{L_2(\Omega)}^2/2 - \alpha (\operatorname{div} \mathbf{v}(u_k), \operatorname{div} \overset{\circ}{\mathbf{v}}(d_k))_{L_2(\Omega)} + \alpha^2 \|\operatorname{div} \overset{\circ}{\mathbf{v}}(d_k)\|_{L_2(\Omega)}^2/2, \end{aligned}$$

откуда точкой минимума является

$$\alpha'_k = \frac{(\operatorname{div} \mathbf{v}(u_k), \operatorname{div} \overset{\circ}{\mathbf{v}}(d_k))_{L_2(\Omega)}}{\|\operatorname{div} \overset{\circ}{\mathbf{v}}(d_k)\|_{L_2(\Omega)}^2}, \quad (31)$$

а (6) принимает вид

$$u_{k+1} = u_k - \alpha'_k d_k. \quad (32)$$

Применение метода наискорейшего спуска для рассматриваемых задач встречает затруднение, связанное с тем, что функционалы $J_l(u)$ не удовлетворяют условию ограниченности множества Лебега $M_{l,c} = \{u \in U_l : J(u) \leq c\}$, которое используется при доказательстве теорем сходимости метода наискорейшего спуска. Оказалось, что эту трудность можно преодолеть, если α_k выбирать по формуле

$$\alpha_k = \min [\alpha'_k, \gamma], \quad (33)$$

где γ – параметр метода, а α'_k определяется как в методе наискорейшего спуска по формуле (31).

Поскольку предлагаемый метод может быть использован и в других задачах оптимизации, сформулируем утверждение в виде теоремы в абстрактном гильбертовом пространстве H . Введем обозначения: $J_* = \inf_U J(u)$, $U \subset H$, $U_* = \{u \in U : J(u) = J_*\}$, $C^{1,1}(U)$ – множество дифференцируемых функционалов, градиент которых удовлетворяет условию Липшица.

Теорема 4. ¹ Пусть U – выпуклое, замкнутое множество из гильбертового пространства H с нормой $\|\cdot\|$, $J(u) \in C^{1,1}(U)$ – выпуклый функционал ($J_* > -\infty$), множество U_* непусто и ограничено, последовательность $\{u_k\}_{k=0}^\infty$ определена по формулам (33), (6)² и выполнены условия:

$$\sum_{k=0}^{\infty} \|J'(u_k)\|^2 \leq b_1, \quad (34)$$

$$0 < \alpha_k < b_2; \quad (35)$$

тогда последовательность $\{u_k\}_{k=0}^\infty$ минимизирует функцию $J(u)$ на U и слабо в H сходится к множеству U_* .

Доказательство. Обозначим $\rho(u, U_*) = \min_{v \in U_*} \|u - v\|$; тогда по определению оператора проектирования

$$\rho^2(u_{k+1}, U_*) = \|u_{k+1} - P_{U_*}(u_{k+1})\|^2 \leq \|u_{k+1} - P_{U_*}(u_k)\|^2$$

¹Данная теорема с доказательством приведена в работе [10]. Однако утверждение о том, что в случае, если область U является подпространством или всем пространством, то условие (34) можно отбросить, доказано для конкретного функционала. В данной работе это установлено для любого выпуклого функционала $J(u) \in C^{1,1}(U)$.

²При отсутствии в обозначении функционала $J(u)$ нижнего индекса, аналогичное предполагается и в формуле (6).

$$\begin{aligned}
&= \|P_U(u_k - \alpha_k J'(u_k)) - P_U(P_{U_*}(u_k))\|^2 \leq \|u_k - \alpha_k J'(u_k) - P_{U_*}(u_k)\|^2 = \\
&= \rho^2(u_k, U_*) + \alpha_k^2 \|J'(u_k)\|^2 - 2\alpha_k (J'(u_k), u_k - P_{U_*}(u_k)). \tag{36}
\end{aligned}$$

Воспользовавшись необходимым и достаточным условием выпуклости дифференцируемого функционала на выпуклом множестве U [6] $J(u) - J(v) \geq (J'(v), u - v) \forall u, v \in U$, полагая в нем $v = u_k, u = P_{U_*}(u_k)$, получаем

$$(J'(u_k), u_k - P_{U_*}(u_k)) \geq J(u_k) - J(P_{U_*}(u_k)) = J(u_k) - J_* \geq 0, \tag{37}$$

откуда неравенство (36) принимает вид

$$\rho^2(u_{k+1}, U_*) - \rho^2(u_k, U_*) \leq \alpha_k^2 \|J'(u_k)\|^2.$$

Суммируя последнее неравенство от 0 до $m - 1$ ($m > 0$), и учитывая условие (34), получаем

$$\rho^2(u_m, U_*) \leq \sum_{k=0}^{m-1} \alpha_k^2 \|J'(u_k)\|^2 + \rho^2(u_0, U_*) \leq b_2^2 b_1 + \rho^2(u_0, U_*).$$

Таким образом, последовательность $\{u_k\}_{k=0}^\infty$ ограничена в H , а из условия (34) следует, что $\lim_{k \rightarrow \infty} \|J'(u_k)\| = 0$; тогда из неравенства (37) следует, что последовательность $\{u_k\}_{k=0}^\infty$ минимизирует функционал $J(u)$. Таким образом, последовательность $\{u_k\}_{k=0}^\infty$ – ограниченная и минимизирующая $J(u)$ на U .

Обозначим через W множество выпуклых комбинаций последовательности $\{u_k\}_{k=0}^\infty$, то есть множество точек u , представимых в виде:

$$u = \sum_{k=0}^{\infty} \alpha_k u_k, \quad \alpha_k \geq 0, \quad \sum_{k=0}^{\infty} \alpha_k = 1.$$

Используя [7, гл. 4, §1, теорема 5], легко показать, что $W \subset U$ и поскольку U – замкнутое множество, замыкание \overline{W} множества W также принадлежит U .

Последовательность $\{u_k\}_{k=0}^\infty$ минимизирует функцию $J(u)$ на U и, следовательно, минимизирует $J(u)$ на \overline{W} . Из доказанного следует, что $J_*(\overline{W}) = \inf_{u \in \overline{W}} J(u) = J_* = \inf_{u \in U} J(u)$,

$\overline{W}_* = \{u \in \overline{W} : J(u) = J_*\} \in U_*$. Из ограниченности последовательности $\{u_k\}_{k=0}^\infty$ следует ограниченность множества \overline{W} . Согласно [6, гл. 1, §3, теорема 6] выпуклый, полуограниченный снизу функционал $J(u)$ на ограниченном, выпуклом, замкнутом множестве U из рефлексивного банахового пространства имеет непустое множество точек минимума U_* , и любая минимизирующая последовательность $\{u_k\}_{k=0}^\infty$ слабо сходится к U_* . Из слабой сходимости последовательности $\{u_k\}_{k=0}^\infty$ к \overline{W}_* следует ее слабая сходимости к U_* , теорема доказана. \square

Замечание 1. Если множество \overline{W} компактно, то имеет место сильная сходимости. Здесь можно воспользоваться [6, гл. 1 §3, теорема 1].

Замечание 2. Если U – подпространство гильбертового пространства H , P_U – оператор ортогонального проектирования на это подпространство, то

$u_{k+1} = u_k - P_U J'(u_k)$. В этом случае соотношение (36) можно записать в виде:

$$\rho^2(u_{k+1}, U_*) = \rho^2(u_k, U_*) + \alpha_k^2 \|P_U J'(u_k)\|^2 - 2\alpha_k (P_U J'(u_k), u_k - P_{U_*}(u_k)).$$

Учитывая, что $(P_U J'(u_k), u_k - P_{U_*}(u_k)) = (J'(u_k), u_k - P_{U_*}(u_k))$, легко видеть, что утверждения теоремы справедливы, если вместо условия (34) выполняется условие

$$\sum_{k=0}^{\infty} \|P_U J'(u_k)\|^2 < b_1. \tag{38}$$

Теорема 5. Пусть U – подпространство или все гильбертово пространство H , $J(u) \in C^{1,1}(U)$ – выпуклый функционал, множество U_* непусто и ограничено, последовательность $\{u_k\}_{k=0}^{\infty}$ определена по формулам (33), (6), тогда последовательность $\{u_k\}$ минимизирует функционал $J(u)$ на U и слабо в H сходится к множеству U_* .

Доказательство. Покажем, что если $J(u) \in C^{1,1}(U)$, где U либо подпространство, либо все пространство H и параметр α_k определяется по формулам (33), (30), то выполнено условие (38) и, следовательно, утверждения теоремы верны без условия (34). Для этого воспользуемся известным неравенством, справедливым для функций из $C^{1,1}(U)$ (см. [7, гл. 2, §3, лемма 1]):

$$|J(u) - J(v) - (J'(v), u - v)| \leq L \|u - v\|^2 / 2 \quad \forall u, v \in U,$$

где L – константа Липшица для градиента $J'(u)$ функционала $J(u)$.

Полагая в нем $v = u_k$, $u = u_{k+1}^\alpha = u_k - \alpha P_U J'(u_k)$, получим

$$\begin{aligned} J(u_k) - J(u_{k+1}^\alpha) &= J(u_k) - J(u_k - \alpha P_U J'(u_k)) \geq \\ &\geq \alpha \left(J'(u_k), P_U J'(u_k) \right) - \alpha^2 L \left\| P_U J'(u_k) \right\|^2 / 2. \end{aligned} \quad (39)$$

Учитывая, что оператор P_U – оператор ортогонального проектирования на подпространство, получаем, что $(J'(u_k), P_U J'(u_k)) = \|P_U J'(u_k)\|$, а из неравенства (39) следует:

$$J(u_k) - J(u_{k+1}^\alpha) \geq \alpha (1 - \alpha L / 2) \|P_U J'(u_k)\|^2. \quad (40)$$

Полагая $\alpha = 1/L$, получаем

$$J(u_k) - J(u_{k+1}^\alpha) \geq \|P_U J'(u_k)\|^2 / (2L).$$

Предположим, что $\alpha'_k \leq \gamma$, тогда $\alpha_k = \alpha'_k$ и поэтому при $\alpha = 1/L$ справедливы неравенства

$$J(u_k) - J(u_{k+1}) \geq J(u_k) - J(u_{k+1}^\alpha) \geq \|P_U J'(u_k)\|^2 / (2L). \quad (41)$$

Предположим теперь, что $\alpha'_k > \gamma$, тогда $\alpha_k = \gamma$. Рассмотрим два случая: $\gamma \geq 1/L$ и $\gamma < 1/L$. Учитывая, что на интервале $(0, \alpha'_k)$ функция $f_k(\alpha)$ убывает, в первом случае вновь получаем неравенства (41). Во втором случае ($\gamma < 1/L$)

$$\gamma (1 - \gamma L / 2) \geq \gamma / 2.$$

Таким образом, учитывая неравенства (40), (41), в любом случае получаем оценку

$$J(u_k) - J(u_{k+1}) \geq c \left\| P_U J'(u_k) \right\|^2,$$

где $c = \min[\gamma/2, 1/(2L)]$.

Из последней оценки следует, что последовательность $\{J(u_k)\}_{k=0}^{\infty}$ монотонно убывает, ряд $\sum_{k=0}^{\infty} \left\| P_U J'(u_k) \right\|^2$ сходится и имеет место искомая оценка

$$\sum_{j=k}^{\infty} \left\| P_U J'(u_j) \right\|^2 \leq c^{-1} (J(u_k) - J_*).$$

Таким образом, выполнено условие (38), и теорема доказана. \square

6. Итерационные процессы. Теорема сходимости. С учетом теоремы 2 далее будем говорить только о задачах $l = 1, 2$. Покажем, что функционалы $J_l(u)$ удовлетворяют всем условиям теоремы 5.

Нетрудно убедиться, что функционалы J_l выпуклы. Действительно при $\forall \alpha \in [0, 1]$ и $u, v \in U_l$

$$\begin{aligned} J_l(\alpha u + (1 - \alpha)v) &= \|\alpha \operatorname{div} \mathbf{v}(u) + (1 - \alpha) \operatorname{div} \mathbf{v}(v)\|_{L_2(\Omega)}^2 \\ &= \alpha^2 \|\operatorname{div} \mathbf{v}(u)\|_{L_2(\Omega)}^2 + (1 - \alpha)^2 \|\operatorname{div} \mathbf{v}(v)\|_{L_2(\Omega)}^2 + 2\alpha(1 - \alpha) (\operatorname{div} \mathbf{v}(u), \operatorname{div} \mathbf{v}(v))_{L_2(\Omega)} \\ &= \alpha \|\operatorname{div} \mathbf{v}(u)\|_{L_2(\Omega)}^2 + (1 - \alpha) \|\operatorname{div} \mathbf{v}(v)\|_{L_2(\Omega)}^2 - \alpha(1 - \alpha) \|\operatorname{div} \mathbf{v}(u) - \operatorname{div} \mathbf{v}(v)\|_{L_2(\Omega)}^2 \leq \\ &\leq \alpha J_l(u) + (1 - \alpha) J_l(v). \end{aligned}$$

Выполнение условия принадлежности функционалов J_l классу $C^{1,1}(U)$ следует из результатов разделов 2, 3, $J_{l,*} = \inf_U J_l(u) = 0 > -\infty$, множества $U_{l,*} = \{u \in U_l : J_l(u) = J_{l,*}\}$ состоят из одной точки $u_* = p$, где p есть искомое давление.

Из теоремы 5, таким образом, следует, что последовательности $\{u_k\}_{k=0}^\infty$, определенные соотношениями (6), (31), (33) при $l = 1, 2$ слабо сходятся в соответствующих пространствах $H^1(\Omega)$ и $L_2(\Omega)$ при любом начальном приближении.

Теорема 6. Пусть $\mathbf{f} \in \mathbf{L}_2(\Omega)$, $S \in C^2$; тогда последовательность $\{u_k\}_{k=0}^\infty$, определенная формулами (6), (33), где $l = 1, 2$, при любом начальном приближении $u_0 \in U_l$ сходится к $u_* = p$ слабо в $H^1(\Omega)$ и при $l = 1$ — сильно в $L_2(\Omega)$. Последовательности $\{\mathbf{v}(u_k)\}_{k=0}^\infty$ при $l = 1, 2$ сильно в $\mathbf{H}_0^1(\Omega)$ сходятся к \mathbf{v} , где p и \mathbf{v} — решение задачи (1)–(3).

Доказательство. Как было показано, первое утверждение сразу следует из теоремы 5. Справедливость второго утверждения вытекает из следующих соображений. Известно (см., например, [1, гл. 1, §1, лемма 8]), что если область Ω ограничена и ее граница кусочно-гладкая, то $H^1(\Omega)$ вкладывается компактно в $L_2(\Omega)$ (т.е. ограниченное в $H^1(\Omega)$ множество компактно в $L_2(\Omega)$). Из компактности и слабой сходимости в $\mathbf{H}^1(\Omega)$ последовательности $\{\mathbf{v}(u_k)\}_{k=0}^\infty$ следует ее сильная сходимости в $\mathbf{L}_2(\Omega)$.

Заметим далее, что разность $\mathbf{v}_k - \mathbf{v}$, где $\mathbf{v}_k = \mathbf{v}(u_k)$, а \mathbf{v} — решение задачи (1)–(3), является решением задачи

$$-\nu \Delta (\mathbf{v}_k - \mathbf{v}) = -\nabla (u_k - p), \quad (\mathbf{v}_k - \mathbf{v})|_S = 0.$$

Умножая последнее уравнение на $\mathbf{v}_k - \mathbf{v}$ и интегрируя по частям, получаем

$$\|\nabla (\mathbf{v}_k - \mathbf{v})\|_{L_2(\Omega)} = -\nu^{-1} (\nabla (u_k - p), \mathbf{v}_k - \mathbf{v})_{L_2(\Omega)} = \nu^{-1} (u_k - p, \operatorname{div} \mathbf{v}_k)_{L_2(\Omega)}. \quad (42)$$

Последовательность $\{u_k\}_{k=0}^\infty$ ограничена в $L_2(\Omega)$ и минимизирующая функционал $J_l(u)$, поэтому $\operatorname{div} \mathbf{v}_k \rightarrow 0$ при $k \rightarrow \infty$. Откуда следует, что $(u_k - p, \operatorname{div} \mathbf{v}_k)_{L_2(\Omega)} \rightarrow 0$ при $k \rightarrow \infty$, поэтому из соотношений (42) следует справедливость последнего утверждения теоремы. \square

Установленная теорема сходимости позволяет сформулировать итерационные процессы в дифференциальной форме для решения задачи (1)–(3).

Алгоритм для $J_1(u)$

1. Выбрать начальное $u_0 \in U_1$, например, $u_0 = 0$.
2. Найти скорость $\mathbf{v}_k(u_k)$ как решение векторной задачи Дирихле (5).
3. Найти сопряженное состояние $\mathbf{w}_k(u_k)$ из решения векторной задачи Дирихле (10).
4. Определить $d_k = P_{U_1}(\rho(\mathbf{w}_k))$, где $\rho(\mathbf{w}_k)$ — решение скалярной задачи Неймана (25).
5. Определить $\mathring{\mathbf{v}}_k(d_k)$ из решения векторной задачи Дирихле (5) при $\mathbf{f} = 0$.
6. Вычислить α_k по формулам (31), (33) для найденных $\mathbf{v}_k(u_k)$, $\mathring{\mathbf{v}}_k(d_k)$.
7. Пересчитать управление u_{k+1} по формуле (32) для найденных α_k , d_k и перейти к шагу 2.

Алгоритм для $J_2(u)$ идентичен алгоритму $J_1(u)$ за исключением шага 4:

$$d_k = P_{U_2}(-\operatorname{div} \mathbf{w}_k(u_k)).$$

Операторы проектирования для обоих алгоритмов вычисляются по формуле

$$P_{U_l}(u) = u - \frac{(u, 1)_{L_2(\Omega)}}{(1, 1)_{L_2(\Omega)}} \forall u \in U_l, l = 1, 2. \quad (43)$$

7. Комбинированный градиентный метод. Состоит в том, что попеременно делается несколько шагов первого градиентного метода (т.е. $J'(u) = J'_1(u)$), а затем несколько шагов второго (т.е. $J'(u) = J'_2(u)$). Расчеты ниже показывают, что комбинирование методов обеспечивает ускорение сходимости. Этот факт имеет простое объяснение. Функционалы $J_1(u)$, $J_2(u)$ достигают минимума через обращение в нуль в точке $u_* = p$ тогда и только тогда, когда сопряженное состояние $\mathbf{w}(u_*) = 0$. Действительно, если $\mathbf{w}(u_k) \neq 0$, то в разложении $\mathbf{w}(u_k)$ на градиентную и соленоидальную составляющие, по крайней мере, хотя бы одна часть не равна нулю. Пусть, например, не равна нулю градиентная часть $\mathbf{w}(u_k)$, тогда спуск по градиенту $J'_1(u_k)$ обеспечит уменьшение функционала. Комбинированный метод состоит в последовательном переходе от использования одного градиента на использование другого, как только величина $\|J'_l(u_k)\|$ ($l = 1, 2$) станет меньше заданной величины.

Заметим, что области определений функционалов U_l ($l = 1, 2$) различные, поэтому требуется убедиться, что по окончании использования одного метода градиентного спуска мы получаем управление u_k , принадлежащее области определения другого функционала. Это условие будет выполнено, если начальное приближение $u_0 \in U_1$. Чтобы в этом убедиться, достаточно показать, что если $u_0 \in H^1(\Omega)$, то $J'_2(u_0) \in \mathbf{H}^1(\Omega)$. Действительно, если $u_0 \in H^1(\Omega)$, то при условии гладкости границы $S \in C^2$ в уравнении (5) правая часть $\mathbf{f} - \nabla u_0 \in \mathbf{L}_2(\Omega)$, поэтому его решение $\mathbf{v}(u_0) \in \mathbf{H}^2(\Omega)$. Откуда следует, что правая часть уравнения (10) принадлежит $\mathbf{L}_2(\Omega)$, поэтому его решение $\mathbf{w}(u_0) \in \mathbf{H}^2(\Omega)$ и, следовательно, $J'_2(u_0) = -\operatorname{div} \mathbf{w}(u_0) \in \mathbf{H}^1(\Omega)$. Таким образом, все члены последовательности u_k , полученные комбинированным методом, содержатся в U_2 .

Если применение градиента $J'_2(u)$ заканчивается, начиная с некоторого номера итерационного процесса, то, в соответствии с теоремой 6, итерационный процесс сходится слабо в $\mathbf{H}^1(\Omega)$ и сильно в $\mathbf{L}_2(\Omega)$. В противном случае можно доказать слабую сходимость итерационного процесса в $\mathbf{L}_2(\Omega)$. Последовательности векторов скорости $\{\mathbf{v}(u_k)\}_{k=0}^\infty$ в силу теоремы 6 сильно сходятся в пространстве $H_0^1(\Omega)$.

8. О задаче с неоднородными граничными условиями. Приведем некоторые замечания о возможном ослаблении условий на границу и применении разработанных методов к решению задачи Стокса с неоднородными граничными условиями.

Условие на гладкость границы области $S \in C^2$ используется лишь для применения второго энергетического неравенства (12). Однако, как отмечается в [8], условие на границу можно значительно ослабить, и этим ослабленным условиям удовлетворяют, например, любой многогранник или произвольная выпуклая область.

Для решения задачи Стокса с неоднородными граничными условиями

$$-\nu \Delta \mathbf{v} = \mathbf{f} - \nabla p, \quad \mathbf{v}|_S = \vec{\varphi}, \quad (44)$$

$$\operatorname{div} \mathbf{v} = 0, \quad (45)$$

$$(p, 1)_{L_2(\Omega)} = 0, \quad (46)$$

можно применить предлагаемые методы. При этом отличие от случая однородных краевых условий состоит в том, что на каждом шаге спуска по градиенту решается неоднородная краевая задача (44) для определения вектора скорости $\mathbf{v}(u)$, соответствующего

управлению u . Если управлению u дается приращение h , то приращение вектора скорости $\mathbf{v}(\nabla h) = \mathbf{v}(\nabla(u + h)) - \mathbf{v}(\nabla u)$ определяется решением однородной краевой задачи как и в ранее рассмотренных случаях. Теперь нетрудно видеть, что выкладки, приведенные при доказательстве теорем 1, 2, 3, остаются без изменений.

Таким образом, функционалы J_l ($l = 1, 2$), рассматриваемые в пространствах $H^1(\Omega)$ и $L_2(\Omega)$ и в случае неоднородных краевых условий, дифференцируемы и удовлетворяют условию Липшица, кроме того, сохраняется формула (31) для определения параметров α_k .

Для обоснования сходимости последовательности $\{u_k\}_{k=0}^\infty$, построенных указанными выше методами, необходимо показать, что множество точек минимума функционалов J_l непусто и ограничено. Для этого достаточно убедиться, что решение задачи (44)–(46) существует.

Существование решения задачи (44)–(46) в классе $\mathbf{v} \in \mathbf{H}^2(\Omega)$, $\nabla p \in L_2(\Omega)$ при условии, что область Ω ограничена, $\mathbf{f} \in L_2(\Omega)$, $S \in C^2$, $\varphi|_S \in H^{1+\frac{1}{2}}$, $(\varphi, \vec{n})_{L_2(S)} = 0$ гарантирует [1, гл. III, §5, теорема 3]. Следовательно, при указанных условиях, справедливы утверждения теоремы 6.

9. Конечно-разностная аппроксимация. Для построения сеточных аналогов дифференциальных итерационных процессов из раздела 5 недостаточно воспользоваться произвольными аппроксимациями операторов div и ∇ и гарантировать при этом сходимость, с чем и столкнулись авторы при численном моделировании. Однако, если сначала аппроксимировать исходную задачу (1)–(3) в конечномерных пространствах Соболева и построить для этой задачи градиентный метод аналогично рассмотренному выше дифференциальному случаю, удастся получить сходящийся сеточный итерационный процесс, для которого справедлива теорема 6.

Как и в работе [11] будем рассматривать двумерную прямоугольную область $\Omega_h = (0, l_1) \times (0, l_2)$ и узловую равномерную неразнесенную сетку $\omega_h = \{x_{i,j} = (ih_1, jh_2), i = 1, \dots, N_1, j = 1, \dots, N_2\}$ с границей S_h (состоит из множества граничных узлов, за исключением угловых точек). Здесь $h_\alpha = l_\alpha / (N_\alpha + 1)$ – равномерный шаг, а N_α – число внутренних узлов сетки по направлению $\alpha = 1, 2$. В дальнейшем ограничимся случаем равномерной сетки $N_1 = N_2 = N$ в квадрате $l_1 = l_2 = l$ ($h_1 = h_2 = h$).

Определим скалярное произведение в конечномерном пространстве $L_2(\Omega_h)$:

$$(y, z)_{L_2(\Omega_h)} = h^2 \sum_{x_{i,j} \in \Omega_h} y_{i,j} z_{i,j} + \frac{h^2}{2} \sum_{x_{i,j} \in S_h} y_{i,j} z_{i,j} = h^2 \sum_{i=1}^N \sum_{j=1}^N y_{i,j} z_{i,j} + \frac{h^2}{2} \left(\sum_{i=1}^N y_{i,0} z_{i,0} + \sum_{i=1}^N y_{i,N+1} z_{i,N+1} + \sum_{j=1}^N y_{0,j} z_{0,j} + \sum_{j=1}^N y_{N+1,j} z_{N+1,j} \right),$$

где $y_{i,j} = y(x_{i,j})$, $z_{i,j} = z(x_{i,j})$.

Под согласованной аппроксимацией операторов div_h и ∇_h понимается сохранение дифференциального свойства интегрирования по частям:

$$(\nabla_h p, \mathbf{v})_{L_2(\Omega_h)} = -(p, \operatorname{div}_h \mathbf{v})_{L_2(\Omega_h)} \quad \forall \mathbf{v} \in H_0^1(\Omega_h). \quad (47)$$

Соотношению (47) удовлетворяют направленные разности первого порядка [11]:

$$\operatorname{div}_h \mathbf{v}_{i,j} = \frac{v_{i,j}^{(1)} - v_{i-1,j}^{(1)}}{h} + \frac{v_{i,j}^{(2)} - v_{i,j-1}^{(2)}}{h}, \quad i = 1 \dots N+1, \quad j = 1 \dots N+1,$$

$$\nabla_h p_{i,j} = \left(\frac{p_{i+1,j} - p_{i,j}}{h}, \frac{p_{i,j+1} - p_{i,j}}{h} \right), \quad i = 0 \dots N, \quad j = 0 \dots N.$$

Очевидно, что в этом случае оператор $-\Delta_h = -\operatorname{div}_h \nabla_h$ есть стандартный пятиточечный разностный шаблон для задачи Дирихле [12].

Таким образом, сеточным аналогом задачи (1)–(3) является задача

$$-\nu \Delta_h \mathbf{v} = \mathbf{f}_h - \nabla_h p, \quad \mathbf{v}|_{S_h} = 0, \quad (48)$$

$$\operatorname{div}_h \mathbf{v} = 0, \quad (49)$$

$$(p, 1)_{L_2(\Omega_h)} = 0, \quad (50)$$

для которой выпишем итерационные процессы из раздела 5 в удобном при программной реализации виде. При этом вместо $J_1(u)$ будем теперь рассматривать $J_0(\vec{u})$.

Алгоритм для $J_0(\vec{u})$

$$\begin{aligned} -\nu \Delta_h \mathbf{v}_k &= \mathbf{f}_h - \vec{u}_k, \quad \mathbf{v}_k|_{S_h} = 0; \\ -\nu \Delta_h \mathbf{w}_k &= \nabla_h \operatorname{div}_h \mathbf{v}_k, \quad \mathbf{w}_k|_{S_h} = 0; \\ -\Delta \rho_k &= -\operatorname{div}_h \mathbf{w}_k, \quad \left. \frac{\partial \rho_k}{\partial \vec{n}} \right|_{S_h} = (\mathbf{w}_k \cdot \vec{n})|_{S_h}; \\ d_k &= P_{U_1}(\rho_k); \\ -\nu \Delta_h \mathring{\mathbf{v}}_k &= -\nabla_h d_k, \quad \mathring{\mathbf{v}}_k|_{S_h} = 0; \\ \alpha_k &= \min \left[\alpha'_k, \gamma \right], \quad \alpha'_k = \frac{(\operatorname{div}_h \mathbf{v}_k, \operatorname{div}_h \mathring{\mathbf{v}}_k)_{L_2(\Omega_h)}}{\|\operatorname{div}_h \mathring{\mathbf{v}}_k\|_{L_2(\Omega_h)}^2}; \\ \vec{u}_{k+1} &= \vec{u}_k - \alpha_k \nabla_h d_k. \end{aligned} \quad (51)$$

Алгоритм для $J_2(u)$

$$\begin{aligned} -\nu \Delta_h \mathbf{v}_k &= \mathbf{f}_h - \nabla u_k, \quad \mathbf{v}_k|_{S_h} = 0; \\ -\nu \Delta_h \mathbf{w}_k &= \nabla_h \operatorname{div}_h \mathbf{v}_k, \quad \mathbf{w}_k|_{S_h} = 0; \\ \rho_k &= -\operatorname{div}_h \mathbf{w}_k; \\ d_k &= P_{U_1}(\rho_k); \\ -\nu \Delta_h \mathring{\mathbf{v}}_k &= -\nabla_h d_k, \quad \mathring{\mathbf{v}}_k|_{S_h} = 0; \\ \alpha_k &= \min \left[\alpha'_k, \gamma \right], \quad \alpha'_k = \frac{(\operatorname{div}_h \mathbf{v}_k, \operatorname{div}_h \mathring{\mathbf{v}}_k)_{L_2(\Omega_h)}}{\|\operatorname{div}_h \mathring{\mathbf{v}}_k\|_{L_2(\Omega_h)}^2}; \\ u_{k+1} &= u_k - \alpha_k d_k. \end{aligned}$$

Для обоих алгоритмов

$$P_{U_l}(\rho_k) = \rho_k - \frac{(\rho_k, 1)_{L_2(\Omega_h)}}{(1, 1)_{L_2(\Omega_h)}},$$

где, как нетрудно убедиться, $(1, 1)_{L_2(\Omega_h)} = l_1 l_2$.

10. Решение вырожденной задачи Неймана. Хорошо известно, что условием разрешимости дифференциальной задачи Неймана вида

$$-\Delta \rho = f, \quad \left. \frac{\partial \rho}{\partial \vec{n}} \right|_S = g$$

является равенство

$$(f, 1)_{L_2(\Omega)} + (g, 1)_{L_2(S)} = 0, \quad (52)$$

которое для задачи (24) принимает вид формулы Остроградского–Гаусса

$$(\operatorname{div} \mathbf{w}_k, 1)_{L_2(\Omega)} = ((\mathbf{w}_k \cdot \vec{n}), 1)_{L_2(S)}.$$

Справедливость последней формулы для сеточного случая проверяется непосредственно, если скалярное произведение в $L_2(S_h)$ определено как

$$(g, 1)_{L_2(S_h)} = h \sum_{i=1}^N (g_{0,i} + g_{2,i}) + h \sum_{j=1}^N (g_{1,j} + g_{3,j}) + \frac{h}{2} (g_{0,0} + g_{1,0} + g_{2,N+1} + g_{3,N+1} + g_{2,0} + g_{1,N+1} + g_{0,N+1} + g_{3,0}) \quad \forall g \in L_2(\Omega_h).$$

Введем обозначение компонент вектора $\mathbf{w}_k = (w_k^{(1)}, w_k^{(2)})$. По определению $\partial \rho_k / \partial \vec{n}|_{S_h} = (\nabla_h \rho_k \cdot \vec{n})|_{S_h}$, поэтому граничное условие для задачи (51) определяется из равенства $(\nabla_h \rho_k - \mathbf{w}_k)|_{S_h} = 0$:

$$\frac{(\rho_k)_{1,j} - (\rho_k)_{0,j}}{h} = (w_k^{(1)})_{0,j}, \quad \frac{(\rho_k)_{N+2,j} - (\rho_k)_{N+1,j}}{h} = (w_k^{(1)})_{N+1,j}, \quad j \in \overline{1, N};$$

$$\frac{(\rho_k)_{i,1} - (\rho_k)_{i,0}}{h} = (w_k^{(2)})_{i,0}, \quad \frac{(\rho_k)_{i,N+2} - (\rho_k)_{i,N+1}}{h} = (w_k^{(2)})_{i,N+1}, \quad i \in \overline{1, N}.$$

Из приведенных формул видно, что требуется введение фиктивных слоев точек по каждому из направлений с индексами $N + 2$ за пределами сеточной области $\omega_h \cup S_h$, после чего можно записать систему $(N + 2) \times (N + 2)$ - линейных алгебраических уравнений для решения задачи (51):

$$Az = b, \quad (53)$$

где $z_{CELL(i,j)} = (\rho_k)_{i,j}$, а оператор $CELL(i, j) = i(N + 2) + j$ ($i, j \in \overline{0, N + 1}$) задает построчный формат хранения двумерного вектора в одномерном массиве.

Все элементы строки $row = CELL(i, j)$ ($i, j \in \overline{0, N + 1}$) матрицы A равны нулю, за исключением:

$$A_{row, CELL(i,j)} = \begin{cases} 4, & i, j \in \overline{1, N}; \\ 3, & i = 0 \text{ и } j \in \overline{1, N} \text{ или } i = N + 1 \text{ и } j \in \overline{1, N}; \\ 3, & j = 0 \text{ и } i \in \overline{1, N} \text{ или } j = N + 1 \text{ и } i \in \overline{1, N}; \\ 2, & i = 0 \text{ и } j = 0 \text{ или } i = 0 \text{ и } j = N + 1; \\ 2, & i = N + 1 \text{ и } j = 0 \text{ или } i = N + 1 \text{ и } j = N + 1. \end{cases}$$

$$A_{row, CELL(i-1,j)} = -1, \quad i \geq 1;$$

$$A_{row, CELL(i+1,j)} = -1, \quad i \leq N;$$

$$A_{row, CELL(i,j-1)} = -1, \quad j \geq 1;$$

$$A_{row, CELL(i,j+1)} = -1, \quad j \leq N.$$

Соответственно, вектор правой части вычисляется по формулам

$$b_{row} = -h^2 \operatorname{div}_h(\mathbf{w}_k)_{i,j} + h \begin{cases} 0, & i \in \overline{1, N}, j \in \overline{1, N}; \\ (w_k^{(1)})_{0,j}, & i = 1, j \in \overline{0, N + 1}; \\ (w_k^{(2)})_{i,N+1}, & j = N + 1, i \in \overline{0, N + 1}; \\ (w_k^{(1)})_{N+1,j}, & i = N + 1, j \in \overline{0, N + 1}; \\ (w_k^{(2)})_{i,0}, & j = 1, i \in \overline{0, N + 1}. \end{cases}$$

Система (53) имеет разреженную структуру и может быть эффективно разрешена подходящим итерационным методом с предобуславливанием.

11. Численные эксперименты. Традиционно, первичная верификация численных методов осуществляется на задачах с известным аналитическим решением. Применительно к задаче (1) - (3) это означает, что задавая соленоидальное \mathbf{v}^* и p^* из условия $(p^*, 1)_{L_2(\Omega)}$

мы можем вычислить сеточную правую часть $\mathbf{f}_h = (-\nu\Delta\mathbf{v}^* + \nabla p^*)_h$ и найти вектора \mathbf{v}_k , u_k в результате сходимости алгоритмов из раздела 1.

Рассмотрим тестовый пример из работы [4]. В области $\Omega = [-\pi/2, 3\pi/2] \times [-\pi, \pi]$ решается задача Стокса (1)–(3), где для $\nu = 1$ задается соленоидальное аналитическое решение $\mathbf{v}^*(x, y) = \{(1 + \sin x)\sin y, \cos x(1 + \cos y)\}$, $p^*(x, y) = \sin x \cos(2y)$, для которого $\mathbf{v}^*|_S = 0$.

Задача (48)–(50) решалась на последовательности сеток 31×31 , 63×63 , 127×127 , 255×255 с помощью алгоритмов $J_2(u)$, $J_0(\vec{u})$, а также их комбинированием. Задачи Дирихле для уравнения Пуассона обращались методом быстрого преобразования Фурье [12], с чем и связан выбор числа внутренних узлов сеток по закону $N_1 = N_2 = N = 2^m - 1$ ($m = 5, 6, 7, 8$). Задача Неймана (53) решалась итерационно методом сопряженных градиентов с диагональным предобуславливанием. Во всех алгоритмах итерации продолжались до тех пор, пока $\|p_k - p_{k-1}\|_{C(\Omega_h)} \geq 10^{-6}$ или $\|\operatorname{div}_h \mathbf{v}_k\|_{C(\Omega_h)} \geq 10^{-6}$, где $\|\cdot\|_{C(\Omega_h)}$ – равномерная сеточная норма, т.е. максимум среди всех модулей функции на сетке ω_h . В качестве вектора начальных приближений использовано $u_0 = 0$.

Результаты вычислений с помощью разработанной авторами программы на языке C++ приведены в табл. 1, 2; на рис. 1, 2 представлена динамика убывания нормы дивергенции вектора скорости.

Сетка	Итерации	$\ \mathbf{v}_k - \mathbf{v}^*\ _{C(\Omega_h)}$	$\ p_k - p^*\ _{C(\Omega_h)}$	Невязка $\ \mathbf{f}_h - \nabla_h p_k + \Delta_h \mathbf{v}_k\ _{C(\Omega_h)}$
31×31	200	1.92952e-11	3.05475e-5	1.54609e-9
63×63	242	7.96903e-12	3.81565e-6	2.72057e-9
127×127	262	3.3259e-12	4.76882e-7	5.99933e-9
255×255	265	1.41589e-12	5.96158e-8	1.26728e-8

ТАБЛИЦА 1. Результаты расчета по алгоритму $J_2(u)$

Сетка	Итерации	$\ \mathbf{v}_k - \mathbf{v}^*\ _{C(\Omega_h)}$	$\ p_k - p^*\ _{C(\Omega_h)}$	Невязка $\ \mathbf{f}_h - \nabla_h p_k + \Delta_h \mathbf{v}_k\ _{C(\Omega_h)}$
31×31	167	1.80279e-11	1.7414e-6	1.15983e-9
63×63	143	7.09932e-12	1.56985e-5	2.04383e-9
127×127	163	4.07434e-12	1.0086e-5	5.90967e-9
255×255	219	2.13486e-12	5.4197e-6	1.1914e-8

ТАБЛИЦА 2. Результаты расчета по комбинированному алгоритму, где после одного шага $J_0(\vec{u})$ итерации продолжают по алгоритму $J_2(u)$

Расчеты по алгоритму $J_0(\vec{u})$ не приводятся ввиду обнаруженной вычислительной неустойчивости соответствующего расчета.

Влияние параметра γ на сходимость модифицированного метода градиентного спуска с вычислением параметра α_k по формулам (33), (31) проиллюстрировано на рис. 2. За основу был выбран комбинированный метод, где после одного шага $J_0(\vec{u})$ дальнейшие итерации производились по алгоритму $J_2(u)$. Оптимальным значением γ на рассмотренных сетках является число в пределах 9–11, которое, скорее всего, будет лежать в других диапазонах при других условиях задачи. Сравнение соответствующей табл. 3 с табл. 2 показывает сокращение числа итераций.

12. Заключение. В заключение отметим, что, во-первых, два построенных итерационных процесса из раздела 1 записаны в дифференциальной форме и инвариантны к размерности рассматриваемой задачи Стокса ($n = 2, 3$). Во-вторых, редуцирование исходной задачи к серии существенно более простых задач Дирихле и Неймана, позволяет использовать для их численного решения известные эффективные сеточные методы.

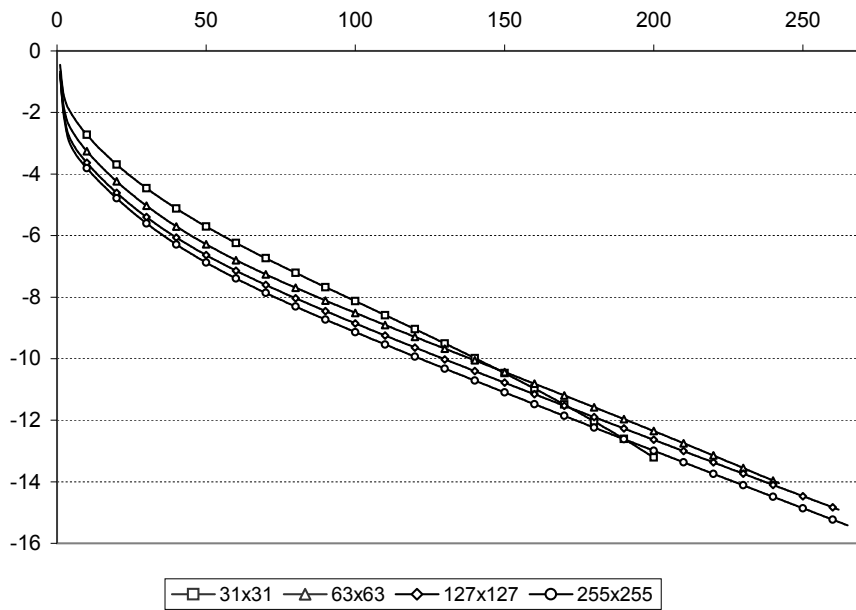


Рис. 1. График изменения $\log_{10}(\operatorname{div}_h \mathbf{v}_k)$ для алгоритма $J_2(u)$ в зависимости от номера итерации

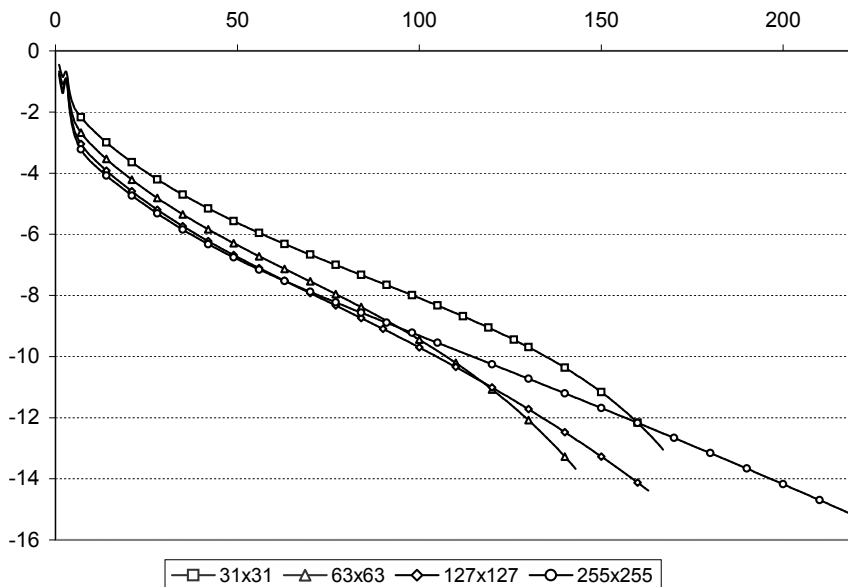
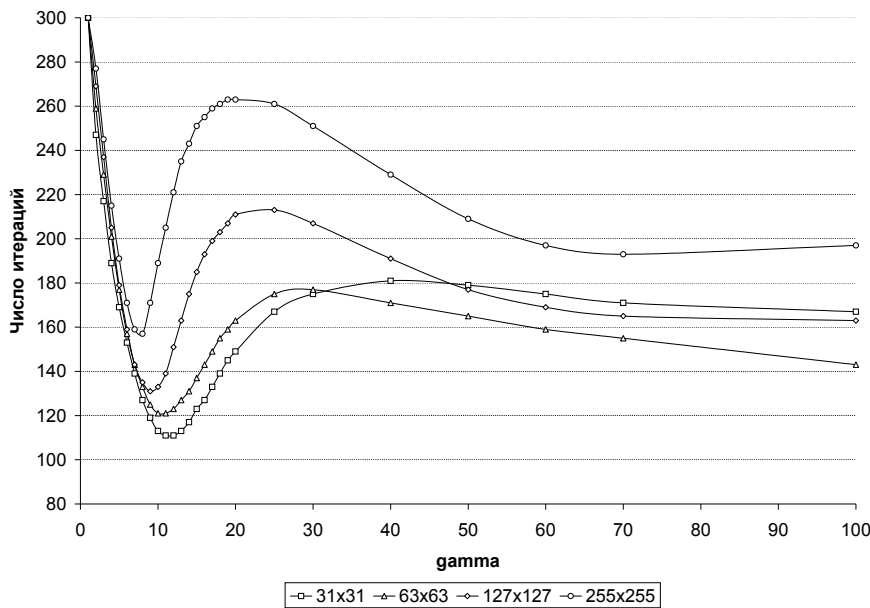


Рис. 2. График изменения $\log_{10}(\operatorname{div}_h \mathbf{v}_k)$ для комбинированного алгоритма в зависимости от номера итерации

В настоящей работе мы ограничились построением только двумерных конечно-разностных схем, на которых исследовали эффективность предложенного модифицированного метода наискорейшего спуска с параметром γ .

Алгоритм $J_2(u)$ проще при программной реализации, однако сходится медленнее, чем комбинированный метод.

Сравнение с численными результатами из работы [4] показывает, что даже при применении базового метода наискорейшего спуска предложенные в настоящей работе алгоритмы

РИС. 3. Зависимость числа итераций комбинированного метода от γ .

Сетка	Итерации	$\ \tilde{\mathbf{v}}_k - \mathbf{v}^*\ _{C(\Omega_h)}$	$\ u_k - p^*\ _{C(\Omega_h)}$	Невязка $\ \mathbf{f} - \nabla_h u_k + \Delta_h \tilde{\mathbf{v}}_k\ _{C(\Omega_h)}$
31×31	113	2.53668e-12	2.00158e-6	1.56719e-9
63×63	121	0.999382e-11	1.00493e-5	2.94942e-9
127×127	133	0.497812e-11	0.502867e-5	4.47148e-9
255×255	189	0.248806e-11	0.251476e-6	9.65243e-8

ТАБЛИЦА 3. Результаты расчета по комбинированному алгоритму при $\gamma = 10$

затрачивают примерно в два раза меньше итераций для достижения точности по скорости во втором знаке на сопоставимых сетках.

СПИСОК ЛИТЕРАТУРЫ

1. Ладыженская О.А. *Математические вопросы динамики вязкой несжимаемой жидкости*. М: Наука, Главная редакция физико-математической литературы, 1970.
2. Темам Р. *Уравнения Навье-Стокса. Теория и численный анализ*. М.: Мир, 1981.
3. Экланд И., Темам Р. *Выпуклый анализ и вариационные проблемы*. М.: Мир, 1979.
4. V.I. Agoshkov, C. Bardos, S.N. Bideev *Solution of the Stokes problem as an inverse problem: Preprint N9935*. Centre Math. Leuvers Applic. Cachan: E.N.S. de Cachan, 1999.
5. Пальцев Б.В., Соловьев М.Б., Чечель И.И. *О развитии итерационных методов с расщеплением граничных условий решения краевых и начально-краевых задач для линеаризованных и нелинейной систем Навье-Стокса* // ЖВМиМФ. 2011. 51:1. С. 74–95.
6. Васильев Ф.П. *Методы решения экстремальных задач*. М.: Наука, 1981.
7. Васильев Ф.П. *Численные методы решения экстремальных задач*. М.: Наука, 1988.
8. Ладыженская О.А. *Краевые задачи математической физики*. М: Наука, Главная редакция физико-математической литературы, 1973.
9. Ладыженская О.А. *О связи задачи Стокса и разложений пространств W_2^1 и $W_2^{(-1)}$* // Алгебра и анализ. 2001. 13:4. С. 119–133.
10. Голичев И.И. *Модифицированный градиентный метод наискорейшего спуска решения линеаризованной задачи для нестационарных уравнений Навье-Стокса* // Уфимский математический журнал. 2013. Т. 5. № 4. С. 60–76.

11. A.G. Churbanov, A.N. Pavlov, P.N. Vabishchevich *Operator-splitting methods for the incompressible Navier-Stokes equations on non-staggered grids. Part 1: first-order schemes* // International Journal for Numerical methods in fluids. 1995. V.21. P. 617–640.
12. Самарский А.А., Гулин А.В. *Численные методы*. М.: Наука, 1989.

Голичев Иосиф Иосифович
Институт математики с ВЦ УНЦ РАН
ул. Чернышевского, 112
450008, г. Уфа, Россия
Уфимский филиал Финансового университета
при Правительстве РФ
ул. Революционная, 169
450005, г. Уфа, Россия
E-mail: Golichev_II@mail.ru

Шарипов Тимур Рафаилевич,
Научно-производственное предприятие «АТП»
ул. Кузнецовский Затон, дом 22, корпус 2
450103, г. Уфа, Россия
E-mail: SharipovTR@gmail.com

Лучникова Наталья Иосифовна,
Уфимский филиал Финансового университета
при Правительстве РФ
ул. Революционная, 169
450005, г. Уфа, Россия
E-mail: Luchnikova_NI_77@mail.ru